

III-26 不搅乱粘性土の動的せん断定数と減衰比

東京大学 工学部

正員

石原 研而

川崎製鉄(株)

正員

桜井 基雄

不動建設(株)

正員

○日置 修

◆まえがき◆

地盤のせん断弾性係数および減衰比はひずみ依存性が非常に高く、ひずみレベルによるそれらの変化曲線については、Seed他多くの実験結果が報告されている。ここでは、不搅乱粘性土について、こうしたせん断弾性係数・ひずみの関係に影響を与える要因として、土の塑性指数、間隙比、圧密圧力等に注目し、それらの影響度をみたものである。

◆実験方法◆

実験に用いた試料は、川崎製鉄㈱千葉製鉄所西工場埋立地から採取したものである。当試料採取地点においては、弾性波探査(PS検測)を行なっており、その結果もあわせて、図-1に示す。実験に用いたものは、図-1中の深度8mから20mのシルトであるが、これは、砂あるいは貝殻片を所々に混入した軟弱な層である。不搅乱試料は、シンウォールチューブから直接、カッター式直接成形器を用いて供試体を作製した¹⁾。供試体は直径5cm、高さ10~11cmに成形する。圧密圧力は現位置の状況を考え、浅い箇所の試料は $\sigma_c = 0.5 \text{ kg/cm}^2$ 、深度16m~20mのものは $\sigma_c = 1.0 \text{ kg/cm}^2$ とした。実験はくり返し三軸試験機で行ない、圧密非排水条件で、三軸セル内で等方圧密した供試体に側圧を一定として軸圧をくり返し載荷した。軸圧は、非常に小さいものから徐々に増加させ、それぞれのひずみレベルに対応するせん断弾性係数の値を求めた。この時、くり返し荷重の振動数は1Hzとした。また、同試料について、間隙比、液性限界、塑性限界および含水比を測定し、上記のせん断弾性係数と対比させた。

◆実験結果および考察◆

くり返し三軸試験の結果は、圧密圧力により、図-2($\sigma_c = 0.5 \text{ kg/cm}^2$)、図-3($\sigma_c = 1.0 \text{ kg/cm}^2$)に分けて示す。また、それぞれに対応する物理試験の結果を表-1(図-2に対応)、表-2(図-3に対応)に示す。これらより、次のような事が考察される。

①塑性指数Ipの影響について

同じ圧密圧力のもの、例えば図-1($\sigma_c = 0.5 \text{ kg/cm}^2$)に注目すると、ひずみレベルが1.0%付近においては、9個のデータがほぼ同じ値を示すが、ひずみレベルが小さくなるにつれてバラツキが大きくなっている。言い換えるなら、ひずみレベルが10%から1.0%に進むに際して、せん断弾性係数が急激に減少するものと、ゆるやかに減少するものがあるという事である。急激に減少するものとして深度14~14.4mの②が、ゆるやかに減少するものとして深度8~8.4mの②③、10~10.4mのがあげられる。深度10~10.4m②③、14~14.4m③

標尺 (m)	深度 (m)	土質 記号	土質名	試料 採取	S 改進度 (m/sec)	単位 重量 (t/m³)	せん 断 弾 性 係数 (kg/cm²)
5			細砂		150	1.8	413
	7.6			■1 ■2			
10			シルト	■3 ■4	120	1.5	220
15	16.7						
20	20.6	シルト	有機質シルト	■5			
22.6			シルト				
25	26.4	シルト(運)	細砂		300	1.8	1653
			細砂				

図-1 土質柱状図

はそれらの中間的なものである。さて、これらの試料の I_p に着目すると、減少の度合が小さいものは $I_p = 42 \sim 59$ で大きく、逆に減少の度合の大きいものは $I_p = 10$ 程度と小さい。圧密圧力 $\sigma_c = 1.0 \text{ kg/cm}^2$ のものについても同様の事が言える（図-2）。さて、 I_p が小さければ、ひずみが大きくなるにつれてせん断弾性係数が急激に減少する事の理由であるが、これは、鉄敏比を介して次のように解釈できよう。鉄敏比の大きな土といふのは、せん断弾性係数についていえば、あるひずみレベルまではあまり減少しないが、それをこえると急激に減少するものと考えられる。ところで、William N. Houston らによれば、 I_p と鉄敏比は反比例する事が報告されており²⁾。 I_p が小さいといふ事は、鉄敏比が大きいといふ事になり、せん断弾性係数はひずみが大きくなるにつれ急激に減少するという事になる。逆に、 I_p が大きければ、鉄敏比が小さく、減少度は小さいといえる。

2) 左密圧力の影響について

同程度の I_p について比較すれば、若干の左密圧力の影響がみられるか、データが少ないので明確ではない。

3) 初期せん断弾性係数（ひずみ $10^{-4} \sim 10^{-3}$ %）として PS 模型より求めた $G_0 = 220 \text{ kg/mm}^2$ があるが、図-1, 2 とあまり良い対応はしていない。

◆あとがき◆

この実験は東大土質研の皆様の御協力によってなし得たことをここに記して感謝いたします。

◆参考文献◆

1) 細粒分を含む不搅乱砂の液状化

石原田中 第9回土質工研究発表会講演集

2) Property Interrelationships In Sensitive Clays

William N. Houston, James K. Mitchell, ASCE No SM4, 1969

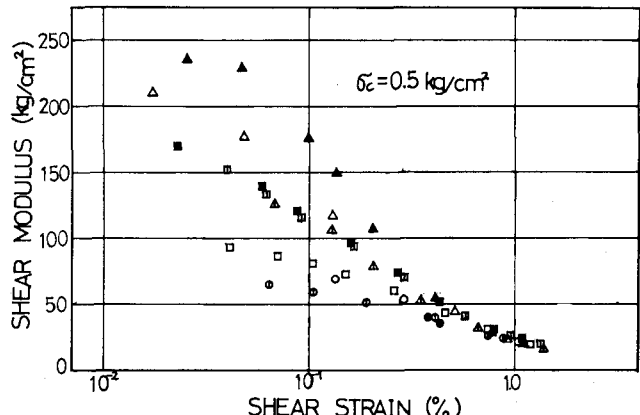


図-2 せん断弾性係数～ひずみの関係(1)

密度(g)	含水比	剛性比	弹性限界	塑性限界	弹性指數	B値
○ 8-8.4 ①	109.60	2.634				0.86
● 8-8.4 ②	134.19	3.176	127.2	68.4	58.8	0.97
○ 8-8.4 ③	120.50	2.839				0.93
□ 10-10.4 ①	95.09	2.123	80.3	38.4	41.9	0.89
■ 10-10.4 ②	61.40	1.498	58.9	33.0	25.9	0.97
□ 10-10.4 ③	58.47	1.463	64.2	35.7	28.5	0.93
△ 14-14.4 ①	31.47	1.043	37.7	27.7	10.0	0.88
▲ 14-14.4 ②	45.59	0.996	39.0	27.7	11.3	0.93
△ 14-14.4 ③	74.55	1.365	40.0	27.8	12.2	0.97

表-1 物理試験結果(1)

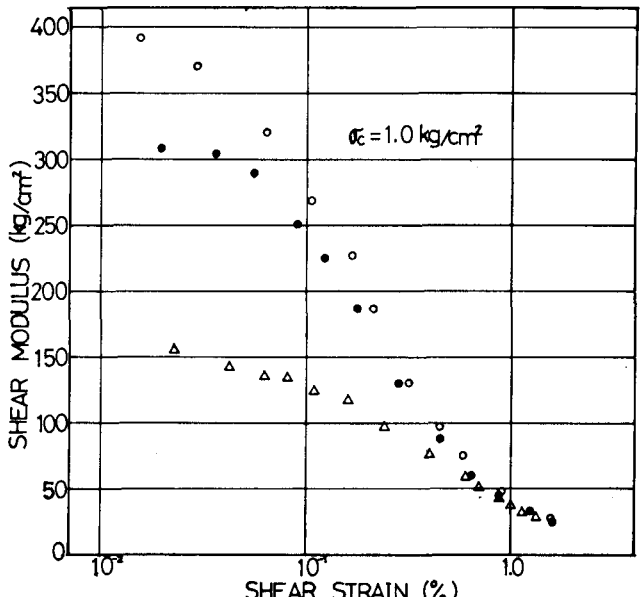


図-3 せん断弾性係数～ひずみの関係(2)

密度(g)	含水比	剛性比	弹性限界	塑性限界	弹性指數	B値
○ 16-16.4 ①	45.05	1.056	41.7	31.6	10.1	0.92
● 16-16.4 ②	45.29	1.061	42.7	31.5	11.2	0.97
△ 20-20.4 ①	93.30	2.261	86.1	53.5	32.6	0.79

表-2 物理試験結果(2)